

# ارائه یک مدل کامل برای شبیه سازی ماشین های DC در PSPICE

## گرددآوری

محمد رضا یوسفی نجف آبادی<sup>۱</sup>، احمد رضا صالحی مورکانی<sup>۲</sup>  
دانشگاه آزاد اسلامی واحد نجف آباد<sup>۱</sup>، دانشگاه آزاد اسلامی واحد خمینی شهر<sup>۳</sup>

## کلمات کلیدی

مدل کامپیوتری ، شبیه سازی ماشین dc

## چکیده

در این مقاله یک مدل کامپیوتری چهار سطحی برای شبیه سازی ماشین dc با استفاده از Pspice پیشنهاد گردیده است. این مدل پیچیده، اشباع مغناطیسی، عکس العمل آرمیچر، پارامترهای سیم پیچی ماشین وابسته به جریان و اثرات جریانهای گردابی را مورد نظر قرار داده است. این مدل‌ها، امکان شبیه سازی مشخصه‌های استاتیکی و دینامیکی یک سیستم درایو با موتور dc را به طور مناسب و دقیق ارائه می‌دهند.



## ۱. مقدمه

ماشین‌های  $dc$  به طور معمول در بسیاری از کاربردهای صنعتی مانند کنترل و اعمال نیرو به علت کنترل نسبتاً ساده آنها، مورد استفاده قرار می‌گیرند. مدل کامپیوترا برای آرمیچر یک موتور  $dc$ ، به صورت یک سلف و مقاومت ثابت به اضافه ولتاژ القایی متناسب با جریان میدان و سرعت روتور می‌باشد [۱]. برای تحقیق و بررسی روابط استاتیکی و دینامیکی یک سیستم درایو موتور  $dc$  واقعی، این مدل ساده و نامناسب است زیرا پدیده‌هایی مانند اشباع مغناطیسی، عکس‌العمل میدان آرمیچر و اثرات جریان گردابی را مورد ملاحظه قرار نمی‌دهد. معمولاً میدان ماشین نزدیک ناحیه اشباع خود عمل می‌کند و انتقال نقطه عملکرد به ناحیه اشباع هنگامی که گشتاور بیش از گشتاور نامی مورد نیاز باشد، بسیار آسان است. عکس‌العمل آرمیچر نیز یک پدیده مهم در خلال به حرکت درآوردن بارهای سنگین می‌باشد. همچنین یک یکسوساز یا درایو چاپر جریان پالسی برای ماشین ایجاد می‌کند که باعث تلفات مسی در سیم پیچ‌ها، تلفات فوکو و هیسترزیس شده و از این رو راندمان موتور را کاهش می‌دهد. مدل‌هایی از ماشین  $dc$  برای استفاده در آنالیزها و شبیه‌سازی‌های سیستم درایو ارائه شده اند. [۲]، [۳]، [۴] از نظر نویسنده‌گان این مقاله، اغلب آنها با آنالیز ریاضی تشریح شده‌اند، چه با استفاده از معادلات دیفرانسیل [۳] و چه با استفاده از تبدیل لاپلاس [۴]. عیب این‌گونه رویکردها آن است که مدل‌های ریاضی‌گونه نمی‌توانند به آسانی به مبدل‌های توان مرتبط شوند و طراحان به طور کلی مجبورند که فرض نمایند که بخش‌های الکترونیکی درایو از وسایل کلیدزنی ایده‌آل تشکیل شده است.

*PSPICE* یک مجموعه برای شبیه‌سازی مدارهای مختلف است که به طور گسترده مورد پذیرش واقع شده و به طور معمول مورد استفاده قرار می‌گیرد. تا کنون محققان، از آن برای شبیه‌سازی اجزا مورد استفاده در سیستم‌های قدرت استفاده های زیادی کرده‌اند [۵]، [۶] که امکان مدل کردن اجزاء الکترونیکی و درایو آن را نیز در *PSPICE* بدون هیچ‌گونه مشکلی به طراحان داده است. برای توسعه مدل‌های ماشین  $dc$  در *PSPICE* باستی قابلیت‌های آن را وسیعتر نمود به طوریکه سیستم‌های کامل درایو ژنراتور / موتور را نیز شامل گردد. این امر امکان بررسی و مطالعه کل سیستم درایو را تنها در یک شبیه‌سازی بدون فرض‌های ویژه و عملیات پیچیده ریاضی به طراح می‌دهد که این مسئله باعث می‌شود کار طراحی درایو آسانتر و عملی‌تر صورت گیرد.

در این مقاله یک مدل کامپیوترا چهار سطحی برای شبیه‌سازی ماشین  $dc$  با استفاده از *PSPICE* برای شبیه‌سازی ارائه گردیده است. سطح صفر مدل معمول شبیه‌سازی، سطح ۱ دراین مدل با تاثیر اشباع

مغناطیس، عکس العمل آرمیچر و اثرات جریان گردابی ماشین و سطح ۲، اثر اشباع ماشین و پدیده عکس العمل آرمیچر را مورد نظر قرار می‌دهد. سطح ۳ هر دو پدیده بالا و نیز تلفات سرگردان ماشین و پارامترهای مدار سیم‌پیچی وابسته به جریان را شبیه‌سازی می‌نماید.

## ۲. توسعه مدل‌های شبیه‌سازی

### ۱-۲. مدل سطح صفر

برای یک مدل ماشین  $dc$  ایده‌آل مورد استفاده قرار می‌گیرد و با معادلات زیر بیان می‌شود :

$$V_a = R_a i_a + L_a \frac{di_a}{dt} + k_m i_f \omega_m \quad : (1)$$

$$V_f = R_f i_f + L_f \frac{di_f}{dt} \quad : (2)$$

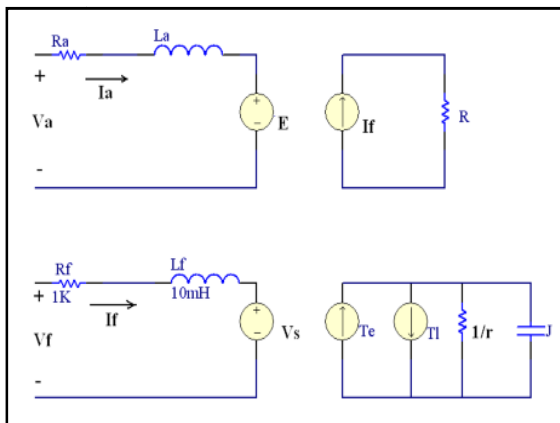
$$J \frac{d\omega_m}{dt} + f\omega_m + T_L = k_m i_f i_a \quad : (3)$$

که در این معادلات  $V_f, V_a$  به ترتیب ولتاژ القایی آرمیچر و میدان استاتور می‌باشند و  $R_a$  مقاومت آرمیچر و مقاومت میدان استاتور،  $L_f$  گشتاور بار،  $T_L$  سرعت زاویه‌ای یا چرخشی ماشین،  $f$  ضریب اصطکاک شافت،  $J$  اینرسی چرخشی و  $k_m$  ولتاژ القایی ثابت می‌باشند. در اینجا سیم‌پیچی تحریک میدان می‌تواند به صورت سیم‌پیچی سری یا موازی باشد.

همه اجزاء مدار می‌توانند به آسانی توسط *PSPICE* مدل‌سازی شوند (شکل ۱) و همه پارامترهای این مدل می‌توانند توسط آزمایشات ساده یا اندازه‌گیری مستقیم بدست آیند. این مدل همه اثرات غیرخطی را نادیده می‌گیرد و با فرض اینکه ماشین در حال کار در شرایط بار سبک قرار دارد می‌تواند مورد استفاده قرار گیرد. به طور کلی می‌توان گفت دقیق بوده و برای طراحی سطح اولیه، مدلی مناسب و مفید می‌باشد.

## ۱-۲. مدل سطح ۱

این مدل شبیه سازی را برای ماشین در حال کارو نزدیک به بار نامی می توان استفاده کرد. مدل بالا کاملاً صحیح نیست ، زیرا مدار مغناطیسی خطی نیست در صورتیکه در مدل سطح صفر مدار مغناطیس فرض شده خطی می باشد. دو روش برای شبیه سازی اشباع میدان وجود دارد.



شکل ۱ : سطح صفر مدل *pspice* در ماشینهای *DC*

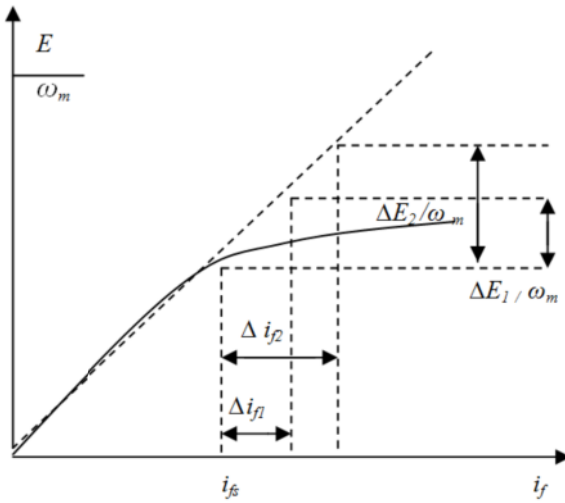
## ۱-۲-۱. روش ۱

منحنی اختلاف ولتاژ نسبت به میدان تحریک تحت شرایط بی باری می تواند به صورت پاره خطی توسط دو خط با شیب های مختلف در آید(شکل ۲) که معادلات آن به صورت زیر نوشته می شود :

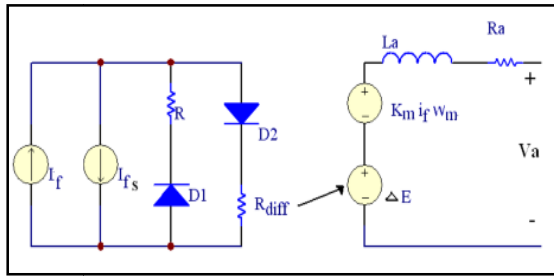
$$\Delta E = 0 \quad \text{while } if \leq ifs$$

$$\frac{\Delta E_2}{\Delta i_{f1}} = \frac{\Delta E_2}{\Delta i_{f2}} = R_{diff} \quad \text{while } i_f > ifs$$

برای اجرای این معادله در *PSPICE* یک مدار کلیدزنی (سوئیچینگ) برای انتقال منحنی های عملکرد ماشین از حالت خطی به ناحیه اشباع و برعکس، مورد نیاز است. یک مدار کلیدزنی قابل استفاده در *PSPICE* در شکل (۳) ارائه شده است.  $\Delta E$  میزان کاهش اختلاف ولتاژ ناشی از اشباع میدان بوده و با افت ولتاژ در راستای  $R_{diff}$  متناسب است. در این مدار وقتی  $ifs < if$  باشد ، دیود D2 به طور معکوس بایاس شده و  $\Delta E = 0$  خواهد بود. وقتی  $if > ifs$  دیود D2 به طور مستقیم بایاس شده و خواهد بود.



شکل (۲) منحنی اشباع مغناطیس هسته



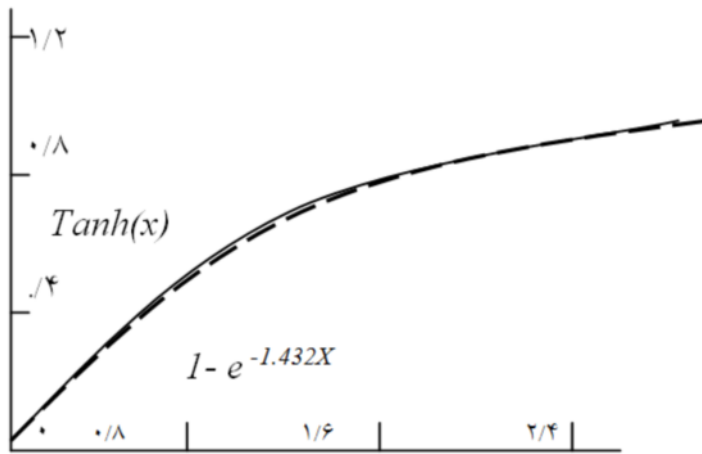
شکل ۳ : مدار سوچینگ قابل شبیه سازی در *pspice*

## ۴-۳-۲ روش ۲

از یک دیدگاه ریاضی گونه، وابستگی اختلاف ولتاژ ماشین و جریان میدان می‌تواند به خوبی توسط رابطه زیر تقریب زده شود :

$$E = C1 \cdot \tan h(C2 \cdot If) + C3 \cdot If + C4 \quad : (5)$$

*PSPICE*،تابع تانژانت هیپربولیک را پشتیبانی نمی کند. اما این تابع می‌تواند با استفاده از یک تابع نمایی (که دارای مشخصه های یک دیود به طور معکوس بایاس شده ) تقریب زده شود. شکل (۴) شباهت بین این دو تابع را نشان می دهد.



شکل (۴) تقریب میان  $1 - e^{-1.432X}$  و  $\tanh(x)$

مشخصه‌های دیود  $PSPICE$  توسط یک منبع جریان غیرخطی  $Id$ ، مدلسازی شده است. مقدار منفی  $ID$  که

برابر  $Id$  است توسط رابطه زیر به دست می‌آید:

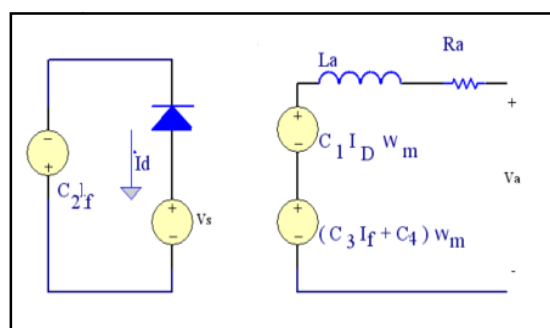
$$VI = kT/g \quad : (7)$$

$$-ID = Id = Is \cdot [exp(\frac{Vd}{nV_t}) - 1] \quad : (6)$$

$k$  ثابت بولتزمن است،  $T$  درجه حرارت مطلق در درجه  $k$  و  $q$  بار الکتریکی می‌باشد.  $VI$  در حدود  $mv/25/85$  و در درجه حرارت اتاق است.  $Vd$  ولتاژ بایاس مستقیم دیود و  $Id$  جریان مستقیم در دیود می‌باشد اگر  $n=27$  و  $Is=1$  قرار دهیم، معادله به صورت زیر در می‌آید:

$$ID = 1 = -exp(1/432 \cdot V_d) \quad : (8)$$

در این معادله تابع تانژانت دارای شکل هندسی غیر خطی در ناحیه مورد نظر (وقتی  $Vd < 0$ )، تطبیق دارد. آنگاه منحنی اشباع ماشین می‌تواند توسط مدار شکل (۵) مدلسازی شود. که در آن  $Vs$  یک سنسور جریان برای  $ID$  می‌باشد.



شکل (۵) مدل سطح یک ماشین  $DC$  با تاثیر اشباع

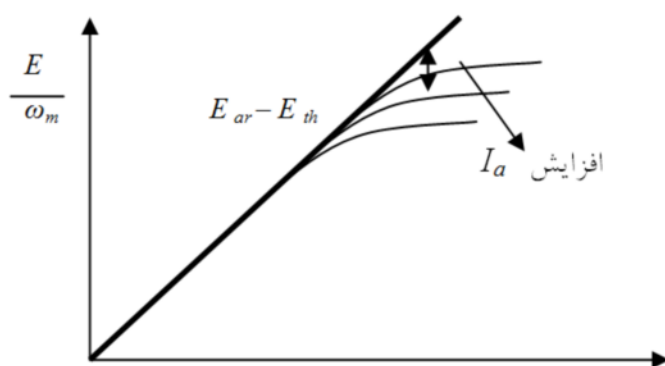
## ۴-۲. مدل سطح ۲

در این نوع ماشین با نزدیک شدن جریان ماشین به مقدار نامی، عکس العمل آرمیچر از اهمیت بیشتری برخوردار می باشد . دو روش برای شبیه سازی این اثر ارائه خواهد شد.

### ۴-۱. روش ۱ :

منحنی  $E-If$  نتایج و اثرات مختلف جریان و عکس العمل ماشین  $DC$  را نشان می دهد . شکل(۶) [۸]

در استفاده از منحنی یک کاهش موثر در شار را با افزایش  $I_a$  (جریان آرمیچر) نشان می دهند.



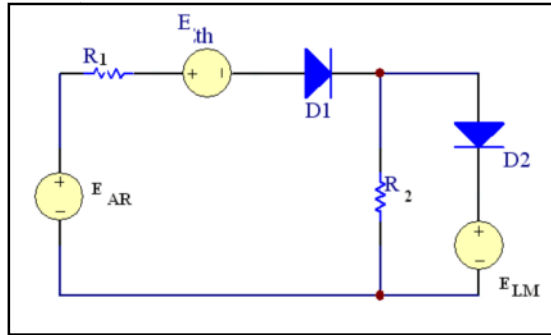
شکل(۶) نتایج و اثرات و عکس العمل آرمیچر ماشین  $DC$

ولتاژ آستانه است که در آن اثرات عکس العمل آرمیچر آغاز می گردد و می تواند از طریق اطلاعات ارائه شده سازنده یا توسط انجام آزمایشات ساده تعیین شود.

اثر افت ولتاژ و عکس العمل آرمیچر، توسط یک منبع ولتاژ وابسته  $EAR$  مدل های شبیه سازی شده و به وسیله جریان میدان  $If$  و جریان آرمیچر  $I_a$  کنترل می شود(شکل ۷) که طبق معادله زیر بیان می شود .

$$EAR = C5 I_u + C6 If \quad (9)$$

$ELM$  و  $D2$ ، افت ولتاژ و عکس العمل آرمیچر را محدود می سازد. (گروه ۴ تا ۰). تا اثر مغناطیس زدایی به صورت نا محدود با  $I_a$  افزایش نیابد.



شکل (۷) افت ولتاژ و عکس العمل آرمیچر در مدل های شبیه سازی

## ۲-۴-۲ روش ۲

برای ترکیب کردن اثرات اشباع میدان و عکس العمل آرمیچر، میدان مغناطیس ماشین به صورت وابسته به اشباع غیر یکنواخت قطب استاتور ساخته شده است. جریان القایی میدان ماشین می‌تواند از معادله زیر وقتی عکس العمل آرمیچر مورد نظر قرار گرفته باشد، بدست آید:

$$k_m \phi_{eff} = \frac{N_f}{2\hbar_u} \int_{I_f - ha/Nf}^{I_f - ha/Nf} (C_1 \cdot \tanh(C_2 \cdot I) + C_3 \cdot I + C_4) dI \quad : (10)$$

$$\tau_a = \frac{I_a Z b_p}{2a \pi D} \quad : (11)$$

که در آن  $a$  تعداد مسیرهای جریان آرمیچر،  $bp$  عرض کفسک قطب،  $D$  قطر آرمیچر،  $\tau a$  تعداد هادیهای سیم پیچ آرمیچر،  $Z$  تعداد رساناهای سیم پیچ آرمیچر،  $Nf$  تعداد دورهای میدان در فاصله بین  $I_f - ha/Nf$  و  $I_f + Fa/Nf$ ، عکس العمل آرمیچر به اندازه کافی برای به اشباع رساندن مقدار آهن، قوی نیست و وضعیت آن می‌تواند به صورت خطی فرض شود. شار متوسط مؤثر در این ناحیه با توجه به جریان میدان به صورت زیر خواهد بود:

$$If_e = If - (\tau a / 2Nf) \quad : (12)$$

در ناحیه بین  $If - Fa/Nf$  و  $If + Fa/Nf$ ، عکس العمل آرمیچر، مقدار آهن را اشباع می‌کند به ویژه در سر قطب پیشرو (موتور) یا در سر قطب دنبال کننده (ژنراتور). اثر مغناطیس زدایی عکس العمل آرمیچر در طول کفسک قطب متغیر است. اگر این ناحیه به  $n$  جزئی خطی تقسیم شود، جزء شار متوسط که شامل عکس العمل آرمیچر برای این ناحیه می‌شود به صورت زیر است:

$$k_m \phi_{eff\ 2} = \frac{1}{2n} \sum_{k=1}^n C_1 \cdot \tanh(C_2 \cdot (I_f + \frac{(k-1)\Im_a}{nN_f})) + \tanh(C_2 \cdot (I_f + \frac{k\Im_a}{nN_f})) + C_3 \cdot (2I_f + \frac{(2k-1)\Im_a}{nN_f}) + 2.C_4$$

: (۱۳)

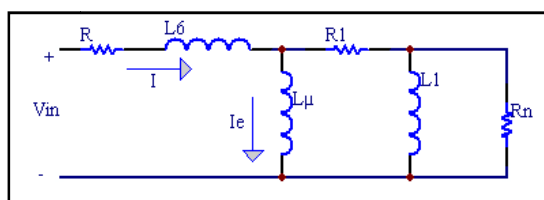
$$k_m \phi_{eff} = (k_m \phi_{eff\ 1} + k_m \phi_{eff\ 2}) / 2$$

: (۱۴)

برای اهداف عملی، تقسیم منحنی اشباع غیر خطی پس از نقطه زانو به سه تا شش بخش خطی، دقیق کافی را فراهم خواهد آورد. برای دستیابی به نتایج رضایت‌بخش شبیه سازی برای اغلب ماشین‌ها با قراردادن  $n = 3$  می‌تواند استفاده گردد. هر بخش در این مدل می‌تواند توسط یک مدار فرعی مشخص شود. در PSPICE مرتبط ساختن این مدارهای فرعی با هم مدل مربوطه به دست می‌آید.

## ۲-۵. مدل سطح ۳

پارامترهای ماشین  $DC$  به عنوان تابعی از فرکانس و درجه اشباع مغناطیسی در عمل (جایی که موتور کنترل شده توسط موتور تغییر داده شده است) ضروری می‌باشند. یک مدل نسبتاً با جزئیات بیشتر توسط بلاسکوبای یک موتور سری  $dc$  کنترل شده توسط چاپر ایجاد شد. ([۳] در ۱۹۸۵) در این مدل یک شبکه معادل که می‌تواند تلفات مخلوط جریان گردابی و پدیده تأخیر گشتاور را شبیه سازی نماید، آمده است. (شکل ۹) ([۳] و [۹])



شکل (۹) شبکه معادل سیم پیچ ماشین  $dc$  برای نتیجه و اثر جریان گردابی

وابستگی پارامتر  $x$  (یا  $L$  یا  $R$ ) مدار سیم پیچ معادل بر روی خط جریان  $I$  توسط رابطه زیر مشخص می‌شود.

$$X(l) = S_1 \cdot \cos^{-1}(S_2 l) + S_3$$

: (۱۵)

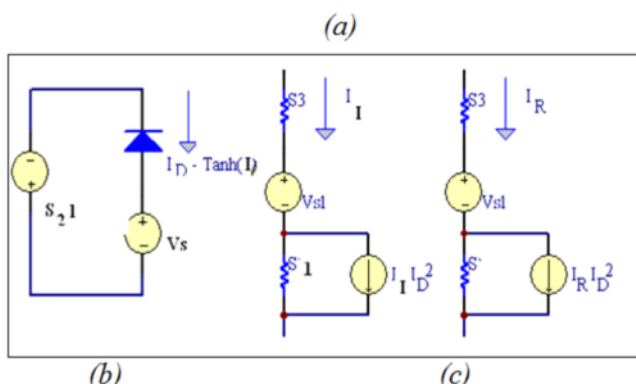
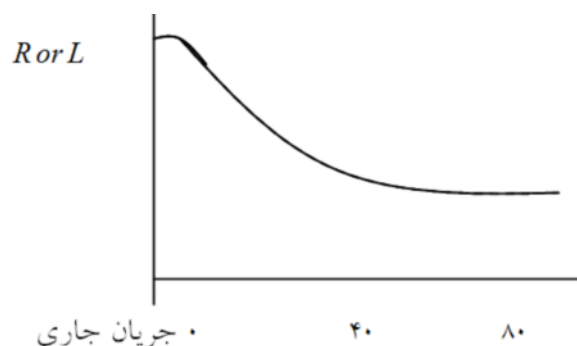
که در آن  $S1$ ،  $S2$  و  $S3$  توسط روش حداقل ترکیبات تعیین می‌گردند، منحنی وابسته  $L$  یا  $R$  به جریان  $I$  در شکل (۱۰) نشان داده شده است. در مقاله بلاسکو، آزمایشات تشخیص بر روی یک سیستم چاپر انجام پذیرفته است. مدل مربوط دقت بهتر از پنج درصد برای جریان آرمیچر، سرعت، زمان استارتینگ

واثر فرکانس چاپر را می دهد اما عیبی دارد که به خاطر آن طراح مجبور است مجموعه ای از معادلات دیفرانسیل غیرخطی را مورد بررسی و تحلیل قرار دهد. مدل  $dc$  سطح ۳ برای یکپارچه شدن با مدل بلاسکو ایجاد گردید به گونه ای که برای شبیه سازی *PSPICE* مورد استفاده قرار بگیرد.

عبارت  $\cosh(x)$  در معادله (۱۵) می تواند با عبارت  $\tanh(x)$  با استفاده از رابطه زیر جایگزین شود:

$$1 - \cosh^{-1}(x) = \tanh^{-1}(x) \quad : (16)$$

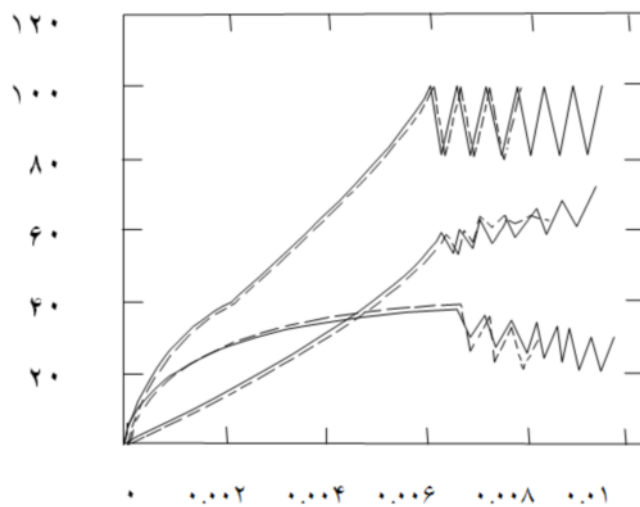
که در آن  $\tanh(x)$  می تواند با جریان یک دیود به طور معکوس بایاس شده شبیه سازی شود که در پاسخ به ولتاژ القایی موجود در قسمت بالا، ارائه شده است.



شکل (۱۰) : a-۱۰ جریان مربوط به مؤلفه های مدار سیم پیچ، b-۱۰ مدلی برای شبیه سازی  $Ri$ ، c-۱۰ مدلی برای شبیه سازی  $Li$

وقتی  $L$  متغیر است،  $Li$  می تواند با تغییر مناسب  $L$  یا با ثابت نگه داشتن  $L$  و تغییر  $I$  تحت مقداری مناسب شبیه سازی شود. این امر یک جایگزین بسیار مناسب در شبیه سازی *PSPICE* بوده و می تواند توسط مدار نمایش داده شود. (شکل (b)) روش مشابه نیز می تواند برای شبیه سازی  $Ri$  که در آن  $R$  متغیر است. مورد استفاده قرار گیرد. (شکل (c)) در آن، سنسورهای جریان هستند.

به عنوان یک بررسی، اقدام به تکرار یکی از شبیه سازی های بلاسکو صورت گرفته، به همراه برخی از شبیه سازی اصلی او که با خطوط منقطع است، نشان داده شده است.(شکل ۱۱)

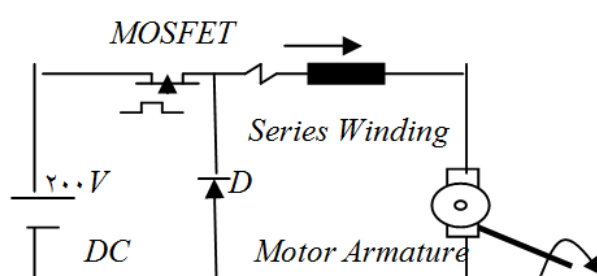


شکل (۱۱) تطبیق شبیه سازی بانتایج بلاسکو

مقاله بلاسکو، مقدار همه پارامترهای او را نمی دهد و برخی از مقادیر حدس زده شده اند. با این وجود توافقهای بسیار خوبی مشاهده شده که نشان می داد PSPICE می تواند برای اتوماتیک کردن را محل مدل های پیچیده ماشین که شامل معادلات دیفرانسیل غیر خطی هستند مورد استفاده قرار گیرد.

### ۳ . شبیه سازی های موتور

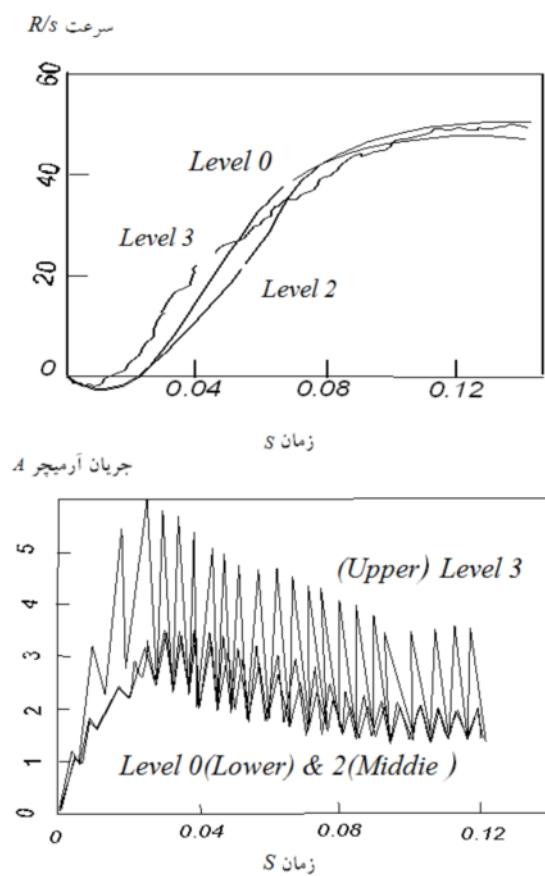
مدل های موتور که قبلًا شرح داده شدند برای شبیه سازی نرم افزاری حالات گذاری یک سیستم درایو چاپر MOSFET نمونه با استفاده از یک موتور متصل شده به صورت *dc* ، استفاده شده اند. دیاگرام مدار و فهرست ورودی نمونه PSPICE به ترتیب در (شکل ۱۲) و [۱۰] نشان داده شده است.



شکل (۱۲) سیستم موتور *dc* متحرک چاپر از نوع MOSFET

پارامترهای مربوط به موتور شبیه سازی شده نیز در ضمیمه فهرست شده است. سه شبیه سازی از گشتاور بار کامل سیگنال راه اندازی با استفاده از سه مدل سطوح مختلف انجام گردید. نتایج شبیه سازی نشان می دهد که تفاوت چشمگیری در عکس العمل ناپایدار بین مدل سطح ۳ و بقیه مدل ها وجود دارد. از این رو اگر شبیه سازی کامپیوتری دقیقی مورد نیاز باشد مدل ماشین غیر خطی، سطح ۳، بايستی مورد استفاده قرار گیرد. کل زمان کار برای سه شبیه سازی ثبت شده و در جدول به عنوان مرجع آمده است. نکته: زمان مربوطه شامل خواندن اطلاعات، مکان یابی مجموعه *PSPICE*، نوشتن داده ها و نمایش نهایی بر روی سیستم می باشد.

تفاوت زیاد زمان مورد استفاده کامپیوتر بین مدل سطح ۳ و سایر مدل ها به خاطر پیچیدگی مدل نیست بلکه به علت جریان نواری زیاد آرمیچر است (شکل ۱۳). جریان گذرای زیاد *PSPICE* را مجبور می سازد تا در کمترین زمان ممکن، تکرارهای بیشتری را به منظور دریافت خروجی دقیق شبیه سازی انجام دهد.



شکل (۱۳) نتایج شبیه سازی سیستم موتور *dc* متحرک

جدول(۱) شبیه سازی

سطح صفر	سطح ۲	سطح ۳
s۴۹/۱۰۸	s۷۳/۲۶۳	s۵۱/۹۹۲

### ۳. نتیجه گیری

در این مقاله، یک مدل کامپیوترا چهار سطحی ماشین  $dc$  با استفاده از *PSPICE* برای شبیه سازی، ارائه شده است. این مدل ها اشباع مغناطیسی میدان ماشین، پدیده عکس العمل آرمیچر، پارامترهای مدار سیم پیچی وابسته به جریان و اثرات اتلافی جریان های گردابی را مورد نظر قرار می دهند. این مدل ها به این منظور ایجاد شده اند که امکان شبیه سازی مشخصه های استاتیک و دینامیک کل سیستم درایو کنورتر که شامل ماشین  $dc$  می شود را به طور بسیار ساده تر، عملی تر و مطمئن تر در یک بار شبیه سازی ارائه بدهند. برخی از شبیه سازی ها به منظور نشان دادن مزایای مدل های ماشین پیشنهادی *PSPICE* مورد بررسی قرار گرفته اند.

### ۴. مراجع

- 1) J. Hindmarsh, *Electrical Machines and their Applications*. London: Pergamon. 1977, pp. 266-359.
- 2) H. B. Hamilton and E. Strangas, "Series motor parameter variations as a function of frequency and saturation," *IEEE Trans. Power App. Syst*, vol. PAS-99, no. 4, pp. 1567-1574, July / Aug. 1980.
- 3) V. Blasko, "A model of echopper-controlled DC series motor." *IEEE Trans. Ind. Appl.* vol. IA-21, no. 1, pp. 207-217, Jan / Feb. 1985.
- 4) S. N. Singh, D. R. Kohi, "Analysis and performance of a chopper controlled separately excited dc motor," *IEEE Trans. Ind. Electron. Vol. IE-29*, no. 1, pp. 1-6, Feb. 1982.
- 5) P. L. B. Teixeira. "Modelling of bipolar power transistors for CAD", *IEEE Catalog CH1529-7/80*. pp. 29-33, 1980.
- 6) H. A. Nienhaus, J. C. Bowers, "A high power MOSFET computer model." *IEEE Catalog CH1529-7/80*. pp. 79-103, 1980.
- 7) R. L. Avant, F. C. Lee. "A unified SCR model for continuous topology CADA." *IEEE Trans. Ind. Electron. Vol. IE-31*, no. 4, pp. 352-361, Nov. 1984.

8) A. E. Flixgcrald. C. Kingsley. And S. D. Umans. *Electric Machinery*. New York: McGraw-Hill, 1983, pp. 217-218.

9) J. S. Ewing. "Lumped circuit impedance representation for dc machines. "IEEE Trans. Power App. Stys. Vol. PAS-87, no. 4, pp. 1106-1110, Apr. 1968.

موتور آزمایشی *dc* تحریک شده سری

$200V, 1/4A, 1200r/min, Ra=16/105\Omega$

$La = 0.4549, Rs = 4/399\Omega, Ls = 0/0423H,$

$B = 0/00083nm/rad/s, j = 0/00286KgM,$

$km = 0/66$  (*unsaturated*).

*chopper*

*period = 5 ms, input voltage = 200 V,*

*Duty cycle = 0/5*